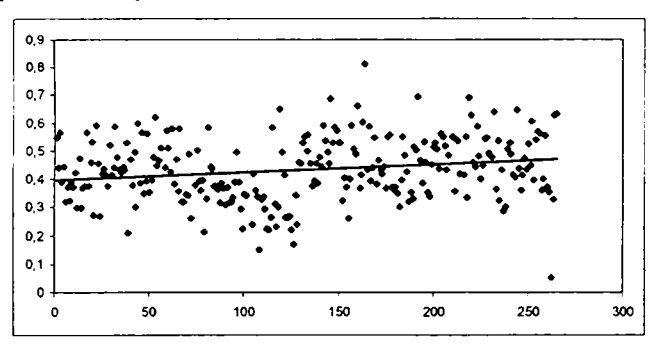
Рис. 1. Корреляционные связи уровня HbA1c и систолического миокардиального стресса



# ВЛИЯНИЕ ПОЛА НА РАННЮЮ СТРУКТУРНО-ФУНКЦИОНАЛЬНУЮ ПЕРЕСТРОЙКУ ЛЕВОГО ЖЕЛУДОЧКА У БОЛЬНЫХ АРТЕРИАЛЬНОЙ ГИПЕРТЕНЗИЕЙ

Поддубная А.В., Евсина М.Г., Дмитриев А.Н., Футерман Е.М.,  $\mbox{ Хурс Е.М. }$ 

#### Введение

В начале XXI века наиболее массовым видом патологии стала артериальная гипертензия (АГ), являющаяся самой частой причиной инвалидизации и смертности людей молодого и зрелого возраста. При этом прослеживается тенденция к поражению этим заболеванием все более молодых людей. По данным многочисленных данных [1,2.3] установлено, что течение АГ у мужчин и женщин имеет различный характер. Однако далеко не все вопросы, касающиеся данной проблемы, остаются изученными.

Цель: Изучить влияние пола на развитие структурно-функциональных изменений левого желудочка (ЛЖ) и вариабельности сердечного ритма (ВРС), оценить их взаимосвязи.

### Материалы и методы:

Проведено открытое одномоментное исследование группы пациентов с АГ, включающей 156 женщин (группа 1), средний возраст 43,94±10,13 и 127 мужчин (группа 2), средний возраст 44,44±11,32. Как видно из таблицы 1, группы были сравнимы по возрасту, степени АГ, уровню САД, ДАД и ИМТ.

В исследование включались пациенты младше 50 лет, с АГ 1 степени, критериями исключения были симптоматический характер АГ, наличие клинико-инструментальных проявлений ИБС и ХСН, нарушения сердечного ритма и проводимости, пороки сердца, хронические заболевания экстракардиальной локализации.

Диагноз АГ устанавливался согласно рекомендациям по диагностике и лечению АГ [4]. Верификация степени АГ проводилась по данным СМАД с использованием общепринятых параметров [5].

Эхокардиографическое исследование проводилось на аппарате «Aloka SSD 4000» фазированным датчиком с частотой в секторальном режиме с оценкой показателей, характеризующих структуру и функцию сердца, в соответствии с рекомендациями Европейского общества кардиологов (2006) [6].

Исследование левого желудочка (ЛЖ) включало измерение конечнодиастолического (КДР, мм) и конечно-систолического (КСР, мм) размеров, высоты ЛЖ в систолу и диастолу (Нс и Нд, мм, соответственно), толщины межжелудочковой перегородки (ТМЖП, мм) и задней стенки ЛЖ (ТЗС, мм) ЛЖ в систолу и диастолу. По методу Teichholz рассчитывались объемные показатели ЛЖ: конечно-диастолический (КДО, мл), конечно-систолический (КСО, мл) и ударный объемы (УО, мл) ЛЖ и фракция выброса (ФВ, %). Массу миокарда ЛЖ определяли по формуле Penn Convention (предложена R.В.

Devereux and N.Reichek) [7]. Полученные объемные показатели индексировали по отношению к площади поверхности тела (ППТ) (КДОИ=КДО/ППТ. КСОИ=КСО/ППТ, УОИ=УО/ППТ). Площадь поверхности тела рассчитывали по стандартной формуле Du Bois [8]. Рассчитывали индексы ремоделирования (ИР) ЛЖ: индекс сферичности ЛЖ в систолу и диастолу (ИСс и ИСд, ед.); интегральный систолический инлекс ремоделирования (ИСИР, ел.): миокардиальный стресс по меридиану (МС, дин/см<sup>2</sup>) в систолу и диастолу: интегральный диастолический индекс ремоделирования (ИДИР, ед.); ФВ/МСс. ФВ/МСд, МСс/КСОИ, МСд/КДОИ; конечно-диастолическое давление (КДД, мм рт.ст.) рассчитывали по формуле Т. Stork [9]: конечное диастолическое напряжение стенки (КДНС, дин/см<sup>2</sup>) рассчитывали по уравнению Лапласа [10]. За признак гипертрофии левого желудочка (ГЛЖ) взят стандартный критерий -ИММЛЖ более 115г/м<sup>2</sup> для мужчин и более 95г/м<sup>2</sup> для женщин [11]. Типы геометрии левого желудочка определялись на основании классификации Ганау 1992 г. [6] с учетом рекомендаций Европейского общества кардиологов 2006 г. [11].

Диастолическая функция ЛЖ сердца оценивалась по следующим показателям: максимальная скорость и время раннего диастолического наполнения ( $V_E$ , м/сек и  $T_E$ , мс), максимальная скорость и время наполнения ЛЖ во время систолы левого предсердия ( $V_A$ , м/сек и  $T_A$ , мс), соотношение E/A, время изоволюмического расслабления ЛЖ (IVRT, мс), время замедления потока раннего диастолического наполнения ЛЖ (DTe, мс).

С целью оценки ВРС проводилось бифункциональное суточное мониторирование электрокардиограммы (ЭКГ) с использованием монитора CardioTens-01 (Венгрия). Методика и анализ полученных результатов, проводились на основании рекомендаций Европейского общества кардиологии и Северо-Американского Электрофизиологического общества [9]. ВРС анализировалась с помощью: 1. временных параметров ВРС: SDNN (мс) — стандартное отклонение от средней продолжительности R-R интервалов (отражает общую вариабельность ритма сердца, обусловленную всеми

периодическими составляющими сердечного ритма для данной записи, зависит от возлействия как симпатической, так и парасимпатической нервной системы): IIRVti - триангулярный индекс - общее количество R-R интервалов, деленное на высоту гистограммы всех R-R интервалов, измеренную по дискретной шкале с шагом 1/128 сек (характеризует общую BCP); rMSSD (мс) – квадратный корень из средней суммы квадратов разности между соседними R-R интервалами (используется преимущественно для оценки высокочастотного (вагусного) компонента спектра); SDANN (мс) – стандартное отклонение средних значений интервалов R-R, вычисленных по 5-минутным промежуткам (используется преимущественно для оценки низкочастотного (симпатического) компонента спектра). 2. спектральных параметров ВРС: TP (мс²) - общая мошность колебаний ЧСС в диапазоне от 0.005 до 0.8 Гц (полный спекто частот): LF (мс<sup>2</sup>) – мощность колебаний ЧСС в низкочастотном диапазоне от 0.05 до 0.15  $\Gamma$ ц (низкочастотная составляющая спектра); HF (мс<sup>2</sup>) – мощность колебаний ЧСС в высокочастотном диапазоне от 0,15 до 0,4 Гц (высокочастотная составляющая спектра); LF/HF (нормализованные единицы) - индекс симпатовагального взаимодействия.

Статистическая обработка результатов проводилась с использованием компьютерной программы Statistica for Windows 6.0 (StatSoft Inc., США).

## Результаты и их обсуждение

При лабораторном обследовании у мужчин были выявлены статистически значимо более низкие значения ЛПВП и более высокий индекс атерогенности, чем у женщин (табл. 1). Однако, данные различия не были сопряжены с отклонениями от нормативных значений указанных параметров [13], что означает отсутствие наличия дислипидемии и проявлений каротидного атеросклероза.

Прежде, чем анализировать различия структурно-функциональных характеристик ЛЖ, были детально изучены особенности гемодинамики в исследованных группах мужчин и женщин по данным СМ АД (табл. 2). Индексы, характеризующие уровень АД (мпАД, АДср, гипертонические

индексы) не имели различий. Коэффициент вариации АД соответствовал низкому риску и был сравним у мужчин и женщин. Суточный индекс (DI) оказался статистически значимо более высоким у мужчин как для систолического, так и для диастолического АД. Однако, в обеих группах значения суточного индекса соответствовали значениям «dipper», и указанные различия не имели клинической значимости. ЧСС также не различалась у мужчин и женщин. Таким образом, мужчины и женщины в исследованных группах имели сходные параметры общей гемодинамики, что исключало влияние нагрузки давлением и частотные влияния на закономерности ремоделирования сердца.

При стандартном ЭХОКГ исследовании у мужчин по сравнению с женщинами выявлены большие линейные размеры ЛЖ (КСР, КДР, толщины стенок и высоту ЛЖ в систолу и диастолу), объемы ЛЖ, что соответствовало различиям конституционального характера (табл. 3).

Однако, различий в параметрах систолической и диастолической функции ЛЖ между мужчинами и женщинами выявлено не было (табл. 3).

При анализе распределения *мужчин* и *женщин* по классификации типов ремоделирования сердца выявлено, что среди *женщин* оказалось достоверно больше доля лиц с концентрической и эксцентрической гипертрофией ЛЖ и существенно меньше – с нормальной геометрией ЛЖ, тогда как среди *мужчин* значимо больше пациентов с нормальной геометрией ЛЖ (рис. 1).

Означает ли это, что раннее ремоделирование сердца у женщин более неблагоприятно, чем у мужчин?

При исследовании индексов ремоделирования ЛЖ было выявлено превалирование ИММЛЖ у мужчин (табл. 3). Однако, при индексации ММЛЖ на рост<sup>2,7</sup> различий не выявлено.

В таблице 3 представлены данные сравнения ИР в исследованных группах. Несмотря на большее количество лиц с нормальной геометрией ЛЖ среди мужчин, по сравнению с женщинами у них оказался статистически значимо выше МСс (128,92 (118,61; 142,76) и 123,73 (112,25; 136,91).

соответственно, p=0,01) и ИСд (0,65 (0,61; 0,71) у мужчин и 0,63 (0,6; 0,68) у женщин p=0,03). Данные изменения геометрии и напряжения стенки ЛЖ отражают дезадаптивные тенденции ремоделирования ЛЖ в виде уменьшения фВ/МСс и ФВ/МСд (табл. 3), отражающих адекватность нагрузки на стенку ЛЖ при формировании выброса.

#### Заключение

Таким образом, в нашем исследовании выявлена меньшая частота развития эксцентрической и концентрической гипертрофии ЛЖ у мужчин с артериальной гипертензией. Однако, раннее ремоделирование ЛЖ у мужчин имеет более неблагоприятный характер. Повышение систолического миокардиального стресса, увеличение индекса диастолической сферичности, дезоптимизации соотношения фракции выброса и миокардиального стресса являются проявлениями раннего дезадаптивного ремоделирования ЛЖ у мужчин с артериальной гипертензией, до формирования гипертрофии миокарда, систолической и диастолической дисфункции ЛЖ. При стандартном ЭХОКГ обследовании данные изменения не выявляются.

Таблица 1 Клинико-демографические показатели и ЛС исследуемых групп

| · · · · · · · · · · · · · · · · · · · | Группа 1     | Группа 2     | ρ, χ²  |
|---------------------------------------|--------------|--------------|--------|
| Возраст                               | 43,94±10,13  | 44,44±11,32  | 0,13   |
| Степень АГ                            | 1,58±0,76    | 1,59±0,75    | 0,89   |
| OT                                    | 84,37±13,21  | 89,11±10,9   | 0,15   |
| САД, мм рт.ст.                        | 157,31±19,33 | 153,91±19,23 | 0,08   |
| ДАД, мм рт.ст.                        | 94,33±10,44  | 94,33±11,41  | 0,44   |
| ИМТ, кг/м <sup>2</sup>                | 26,82±4,14   | 26,99±3,2    | 0,41   |
| ЛПВП, моль/л                          | 1,36±0,47    | 1,24±0,41    | <0,001 |
| Индекс атерогенности,                 | 3,27±1,53    | 3,59±1,68    | 0,01   |
| ед.                                   | 3,27-1,55    | 3,3321,00    | 0,01   |

Таблица 2 Параметры общей гемодинамики по данным СМАД у пашиентов исследованных групп.

|         | Группа 1     | Группа 2     | <u>P</u> |
|---------|--------------|--------------|----------|
| Dls     | 11,25±6,95   | 13,67±6,37   | <0,001   |
| Dld     | 15,96±7,61   | 19,08±8,79   | <0,001   |
| мп АДс  | 132,48±18,5  | 136,14±15,1  | 0,08     |
| мп АДд  | 83,04±11,66  | 88,71±9,23   | 0,07     |
| мпЧСС   | 73,74±14,06  | 73,29±12,34  | 0,99     |
| Адср.ѕ  | 134,69±16,28 | 138,29±10,66 | 0,09     |
| АД ср.d | 79,76±9,12   | 83,23±7,8    | 0,06     |
| ЧСС ср  | 77,62±9,41   | 76,65±8,87   | 0,13     |

Таблица 3 Структурно-геометрические особенности левого желудочка у пациентов исследованных групп

|             | Группа 1     | Группа 2      |
|-------------|--------------|---------------|
| КДО, мл     | 103,26±18,53 | 116,63±18,78* |
| КСО, мл     | 32,71±10,18  | 39,4±11,37*   |
| УО, мл      | 70,14±13,09  | 76,67±14,68*  |
| Нс, мм      | 61,78±6,5    | 66,28±6,27*   |
| Нд, мм      | 71,41±7,1    | 78,02±7,37*   |
| КСР, мм     | 28,54±2,9    | 31,02±2,99*   |
| КДР, мм     | 46,88±3,26   | 49,4±3,45*    |
| ФВ, %       | 68,86±4,81   | 67,07±4,59*   |
| МЖП д, мм   | 8,91±1,57    | 9,75±1,47*    |
| ТЗС ЛЖд, мм | 9,2±1,41     | 9,91±1,27*    |

| ТЗС ЛЖс, мм                                    | 14,89±1,79              | 15,63±1,86*               |
|--|-------------------------|---------------------------|
| ETe, MC  | 221,3±45,04             | 225,67±47,55              |
| ET a, MC                                       | 147,86±26,63            | 157,02±38,16              |
| IVRT, MC                                       | 79,93±17,46             | 82,4±19,97                |
| DecT, MC                                       | 200,56±38,66            | 201,04±39,46              |
| Е/А, ед.                                       | 1,08±0,66               | 1,01±0,38                 |
| ммлж, г  | 177,62 (152,06; 204,8)  | 225,77 (190,83; 249,73)*  |
| ИММЛЖ/ППТ, г/м²                                | 100,39 (88,73; 115,44)  | 110,13 (95,72; 125,95)*   |
| ИММЛЖ/рост <sup>2,7</sup> , г/м <sup>2,7</sup> | 46,99 (42,23; 53,65)    | 48,34 (41,41; 55,63)      |
| ИСс, ед.                                       | 0,46 (0,43; 0,5)        | 0,47 (0,43; 0,51)         |
| ИСд, ед.                                       | 0,63 (0,6; 0,68)        | 0,65 (0,61; 0,71)*        |
| МСс, дин/см²                                   | 123,73 (112,25; 136,91) | 128,92 (118,61; 142,76) * |
| МСд, дин/см²                                   | 159,47 (142,38; 180,03) | 164,97 (147,62; 182,25)   |
| КДД, мм рт.ст.                                 | 11,51 (8,32; 14,87)     | 12,7 (8,85; 14,68)        |
| КДНС, дин/см <sup>2</sup>                      | 14,61 (11,06; 19,7)     | 14,48 (11,8; 19,63)       |
| ИСИР, ед.                                      | 106,06 (97,82; 114,41)  | 106,27 (98,09; 115,15)    |
| ИДИР, ед.                                      | 303,68 (259,13; 352,7)  | 310,25 (271,7; 368,67)    |
| ОТС, ед.                                       | 0,39 (0,34; 0,43)       | 0,4 (0,36; 0,44)          |
| КДОИ, мл/м <sup>2</sup>                        | 57,74 (51,32; 66,2)     | 59,01 (51,43; 67,09)      |
| КСО <b>И</b> , мл/м²                           | 18,16 (15,47; 20,66)    | 19,26 (16,24; 23,49)      |
| МСс/КСОИ, ед.                                  | 6,86 (6,03; 7,82)       | 6,62 (5,84; 7,66)         |
| МСд/КДОЙ, ед.                                  | 2,73 (2,44; 3,1)        | 2,81 (2,48; 3,08)         |
| ФВ/МСс, ед.                                    | 0,55 (0,49; 0,63)       | 0,51 (0,46; 0,6)*         |
| ФВ/МСд, ед.                                    | 0,43 (0,37; 0,48)       | 0,41 (0,36; 0,45)*        |

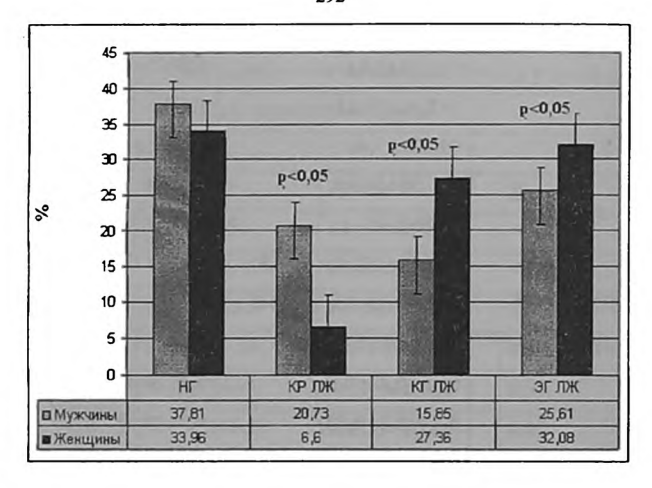


Рисунок 1. Распределение типов геометрии ЛЖ у пациентов исследованных групп.

## ВЛИЯНИЕ ГИПЕРСИМПАТИКОТОНИИ НА СТРУКТУРУ И ФУНКЦИЮ СЕРДЦА ЗДОРОВЫХ ЛИЦ

Хурс Е.М., Евсина М.Г., Поддубная А.В., Смоленская О.Г.

Вегетативная нервная система (ВНС) играет важную роль в функционировании всего организма и сердечно – сосудистой системы (ССС), в частности. Одним из современных методов оценки состояния вегетативной регуляции ССС является анализ вариабельности ритма сердца (ВРС) [1, 2, 3, 4].

Физиологические механизмы анализа ВРС основаны на том, что последовательный ряд кардиоинтервалов отражает регуляторные влияния на синусно-предсердный узел сердца различных отделов ВНС — симпатической (СНС) и парасимпатической (ПСНС) [5]. У здоровых влияние обоих отделов